

46èmes Journées de Statistique, Rennes, 03 juin 2014

Estimation par algorithme EM de modèles à facteurs et équations structurelles

Myriam Tami
I3M, UM2

X. Bry (I3M), C. Lavergne (I3M)

- 1 Cadre et problème : modélisation de lien entre groupes de variables
 - Le modèle
 - La question de l'estimation

- 2 Estimation du modèle par Algorithme EM
 - Généralités sur l'algorithme EM
 - Méthode d'estimation et algorithme

- 3 Résultats numériques
 - Plan de simulation d'un jeu de données
 - Résultats

- 4 Conclusion et perspectives

Exemple de modélisation par équations structurelles

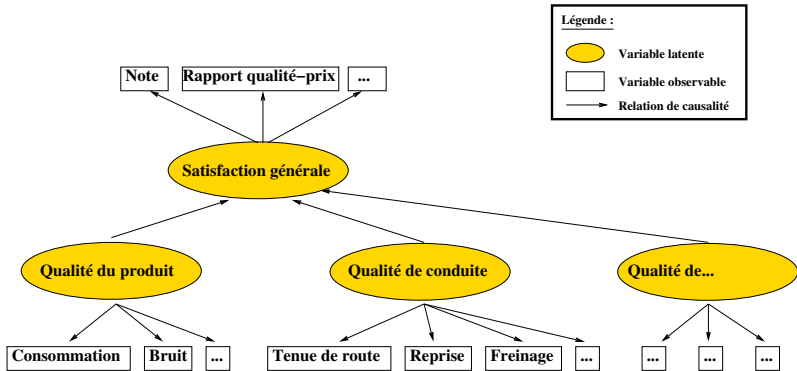


Figure : Étude de la satisfaction d'une gamme automobile : cas de plusieurs variables latentes explicatives et une dépendante

Exemple de modélisation par équations structurelles

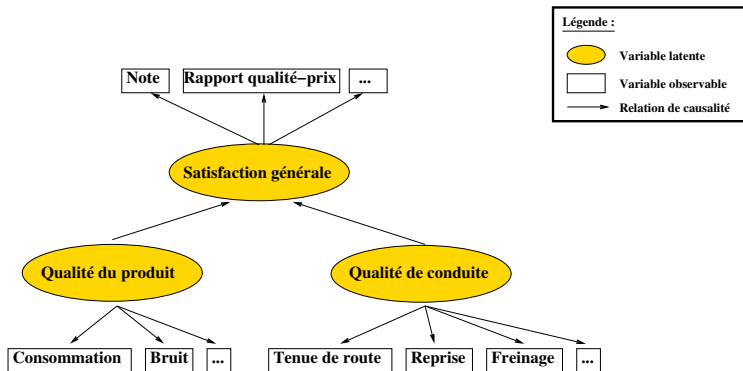


Figure : Étude de la satisfaction d'une gamme automobile : cas de deux variables latentes explicatives et une dépendante

Exemple de modélisation par équations structurelles

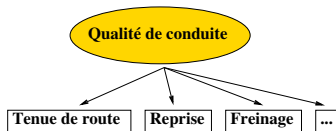
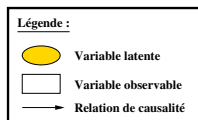


Figure : Étude de la satisfaction d'une gamme automobile : [un modèle de mesure](#)

Exemple de modélisation par équations structurelles

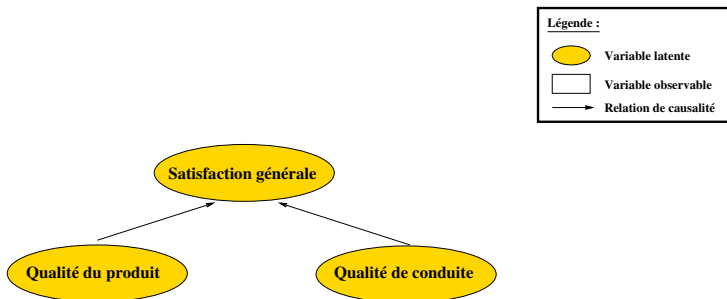


Figure : Étude de la satisfaction d'une gamme automobile : [modèle structurel](#)

Schéma du modèle structurel à 2 facteurs explicatifs et un dépendant

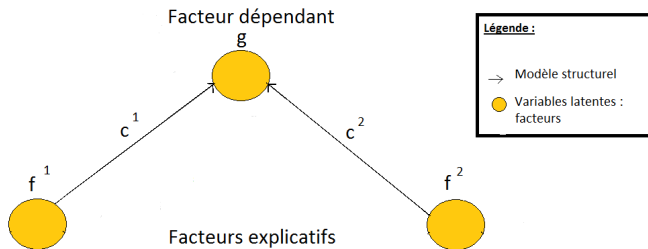


Figure : Modèle structurel à 2 facteurs explicatifs et un dépendant

Écriture du modèle :

$$\left\{ \begin{array}{l} \dots \\ g = f^1 c^1 + f^2 c^2 + \varepsilon^g \end{array} \right. \begin{array}{l} \text{Modèle de mesure} \\ \text{Modèle structurel} \end{array}$$

Schéma du modèle complet à 2 groupes de variables explicatifs et un dépendant

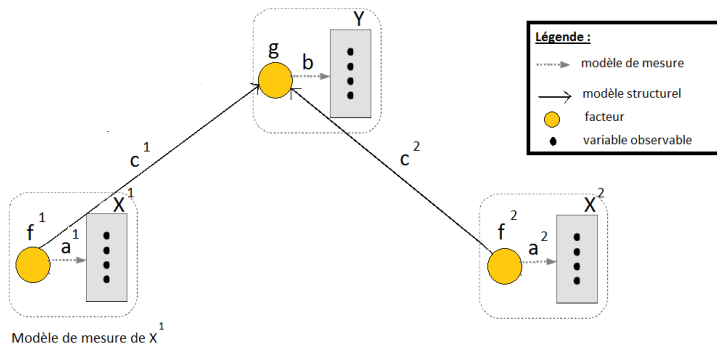


Figure : Modèle complet à 2 groupes de variables explicatifs et un dépendant

Le modèle complet à 2 groupes de variables explicatifs et un dépendant

Écriture du modèle :

$$\left\{ \begin{array}{l} Y = \mathbb{1}_{n\mu} Y' + gb' + \varepsilon^Y \\ X^1 = \mathbb{1}_{n\mu} X^{1'} + f^1 a^{1'} + \varepsilon^{X^1} \\ X^2 = \mathbb{1}_{n\mu} X^{2'} + f^2 a^{2'} + \varepsilon^{X^2} \\ g = f^1 c^1 + f^2 c^2 + \varepsilon^g \end{array} \right\} \begin{array}{l} \text{Modèle de mesure} \\ \text{Modèle structurel} \end{array}$$

Le modèle complet à 2 groupes de variables explicatifs et un dépendant

Modèle et dimensions :

$$\left\{ \begin{array}{l} Y = \mathbb{1}_n \mu^{Y'} + g b' + \varepsilon^Y \\ X^1 = \mathbb{1}_n \mu^{X^1'} + f^1 a^{1'} + \varepsilon^{X^1} \\ X^2 = \mathbb{1}_n \mu^{X^2'} + f^2 a^{2'} + \varepsilon^{X^2} \\ g = f^1 c^1 + f^2 c^2 + \varepsilon^g \end{array} \right. \quad \begin{array}{l} (n, q_Y) = (n, 1)(1, q_Y) + (n, 1)(1, q_Y) + (n, q_Y) \\ (n, q_1) = (n, 1)(1, q_1) + (n, 1)(1, q_1) + (n, q_1) \\ (n, q_2) = (n, 1)(1, q_2) + (n, 1)(1, q_2) + (n, q_2) \\ (n, 1) = (n, 1)(1, 1) + (n, 1)(1, 1) + (n, 1) \end{array}$$

n observations.

$$\left. \begin{cases} Y = \mathbb{1}_n \mu^{Y'} + g b' + \varepsilon^Y \\ X^1 = \mathbb{1}_n \mu^{X^1'} + f^1 a^{1'} + \varepsilon^{X^1} \\ X^2 = \mathbb{1}_n \mu^{X^2'} + f^2 a^{2'} + \varepsilon^{X^2} \\ g = f^1 c^1 + f^2 c^2 + \varepsilon^g \end{cases} \right\} \begin{array}{l} \text{Modèle de mesure} \\ \text{Modèle structurel} \end{array}$$

Hypothèses :

Observations indépendantes $i \in \{1, \dots, n\}$,

- Modèle structurel :

$f^r \sim \mathcal{N}(0, Id_n)$, $r \in \{1, 2\}$ nombre de facteurs explicatifs.

$\varepsilon^g \sim \mathcal{N}(0, Id_n)$

ε^g, f^1, f^2 mutuellement indépendants.

- Modèle de mesure :

$\varepsilon_i^Y \sim \mathcal{N}(0, \sigma_Y^2 Id_{q_Y})$; $\varepsilon_i^{X^r} \sim \mathcal{N}(0, \sigma_{X^r}^2 Id_{q_r})$

Notation : $\theta = \{\mu^Y, \mu^{X^1}, \mu^{X^2}, b, a^1, a^2, c^1, c^2, \sigma_Y^2, \sigma_{X^1}^2, \sigma_{X^2}^2\}$, les paramètres.

- But :

- Estimation des paramètres θ .

- Estimation des facteurs g, f^r .

↔ Plusieurs approches possibles

Différentes approches

- Approche de type PLS :
 - ↔ PLS (Partial Least Squares) : estimation des moindres carrés (Wold, 1973).
 - ↔ ...
- **Analyse de la structure de covariance** :
 - ↔ LISREL (Linear Structural RELations)(Jöreskog, 1970).
 - ↔ ...
- Estimation via **algorithme EM**.

Algorithme EM (Dempster et al., 1977)

$\theta \in \Theta$: paramètres

z : les données observées; h : les données manquantes

$p(\theta)$ fonction de densité de (z, h)

- Estimer $\theta \rightarrow$ maximiser la log-vraisemblance \mathcal{L} complétée des données manquantes.

$$\mathcal{L}(\theta; z, h) = \ln[p(z, h; \theta)]$$

- Algorithme à deux étapes E ("Expectation") et M ("Maximization") qui résout itérativement :

$$\frac{\partial}{\partial \theta} \mathbb{E}_z^h[\mathcal{L}(\theta; z, h)] = 0 \quad (1)$$

Log vraisemblance du modèle

$Z = (Y, X^1, X^2)$ (variables observées)

$h = (g, f^1, f^2)$ (facteurs : nos variables latentes)

La log vraisemblance complétée à maximiser :

$$\begin{aligned} \mathcal{L}(\theta; Z, h) = & -\frac{1}{2} \sum_{i=1}^n \{ q_Y \ln(\sigma_Y^2) + q_{X^1} \ln(\sigma_{X^1}^2) + q_{X^2} \ln(\sigma_{X^2}^2) \\ & + \sigma_Y^{-2} (y_i - \mu^Y - g_i b)' (y_i - \mu^Y - g_i b) \\ & + \sigma_{X^1}^{-2} (x_i^1 - \mu^{X^1} - f_i^1 a^1)' (x_i^1 - \mu^{X^1} - f_i^1 a^1) \\ & + \sigma_{X^2}^{-2} (x_i^2 - \mu^{X^2} - f_i^2 a^2)' (x_i^2 - \mu^{X^2} - f_i^2 a^2) \\ & + (g_i - c^1 f_i^1 - c^2 f_i^2)^2 \\ & + (f_i^1)^2 + (f_i^2)^2 \} + cte \end{aligned}$$

Où, $\theta = \{ \mu^Y, \mu^{X^1}, \mu^{X^2}, b, a^1, a^2, c^1, c^2, \sigma_Y^2, \sigma_{X^1}^2, \sigma_{X^2}^2 \}$.

Résolution

- $\hat{\theta} = \{\mu^{\hat{Y}}, \mu^{\hat{X}^1}, \mu^{\hat{X}^2}, \hat{b}, \hat{a}^1, \hat{a}^2, \hat{c}^1, \hat{c}^2, \sigma_{Y}^{\hat{2}}, \sigma_{X^1}^{\hat{2}}, \sigma_{X^2}^{\hat{2}}\}$ calculable explicitement par résolution de (1).

↪ Besoin de :

$$h_i | z_i \sim \mathcal{N}(m_i(\theta) = \begin{pmatrix} m_{1i} \\ m_{2i} \\ m_{3i} \end{pmatrix}, \Sigma_i(\theta) = \begin{pmatrix} \sigma_{11i} & \sigma_{12i} & \sigma_{13i} \\ \sigma_{21i} & \sigma_{22i} & \sigma_{23i} \\ \sigma_{31i} & \sigma_{32i} & \sigma_{33i} \end{pmatrix})$$

- Ex : $\mu^{\hat{Y}} = \bar{Y} - \hat{b}\tilde{g}$
où $\tilde{g}_i = \mathbb{E}_{z_i}^{h_i}[g_i] = m_{1i}$

Résolution

- $\hat{\theta} = \{\mu^{\hat{Y}}, \mu^{\hat{X}^1}, \mu^{\hat{X}^2}, \hat{b}, \hat{a}^1, \hat{a}^2, \hat{c}^1, \hat{c}^2, \sigma_{Y}^{\hat{2}}, \sigma_{X^1}^{\hat{2}}, \sigma_{X^2}^{\hat{2}}\}$ calculable explicitement par résolution de (1).

↪ Besoin de :

$$h_i | z_i \sim \mathcal{N}(m_i(\theta) = \begin{pmatrix} m_{1i} \\ m_{2i} \\ m_{3i} \end{pmatrix}, \Sigma_i(\theta) = \begin{pmatrix} \sigma_{11i} & \sigma_{12i} & \sigma_{13i} \\ \sigma_{21i} & \sigma_{22i} & \sigma_{23i} \\ \sigma_{31i} & \sigma_{32i} & \sigma_{33i} \end{pmatrix})$$

- Ex : $\mu^{\hat{Y}} = \bar{Y} - \hat{b}\tilde{g}$
 où $\tilde{g}_i = \mathbb{E}_{z_i}^{h_i}[g_i] = m_{1i}$
- Les autres paramètres sont aussi calculables et dépendent de :

$$\begin{aligned} \tilde{\gamma}_i &= \mathbb{E}_{z_i}^{h_i}[g_i^2] = m_{1i}^2 + \sigma_{11i} & \tilde{f}_i^1 &= \mathbb{E}_{z_i}^{h_i}[f_i^1] = m_{2i} \\ \tilde{\phi}_i^1 &= \mathbb{E}_{z_i}^{h_i}[(f_i^1)^2] = m_{2i}^2 + \sigma_{22i} & \tilde{f}_i^2 &= \mathbb{E}_{z_i}^{h_i}[f_i^2] = m_{3i} \\ \tilde{\phi}_i^2 &= \mathbb{E}_{z_i}^{h_i}[(f_i^2)^2] = m_{3i}^2 + \sigma_{33i} \end{aligned}$$

Algorithme

- 1 Choix de $\theta^{[0]}$

Algorithme

- 1 Choix de $\theta^{[0]}$
Pour tout itération $[t]$,
- 2 Calcul de la distribution $h|z$.

Algorithme

- 1 Choix de $\theta^{[0]}$
Pour tout itération $[t]$,
- 2 Calcul de la distribution $h|z$.
- 3 **Étape E** : avec la valeur courante $\theta^{[t]}$,
→ Estimation des $g, f^r, \forall r$ via $\tilde{g} = \mathbb{E}_z^h[g], \tilde{f}^r = \mathbb{E}_z^h[f^r]$.
→ Calcul des $\tilde{\gamma} = \mathbb{E}_z^h[g^2], \tilde{\phi}^r = \mathbb{E}_z^h[(f^r)^2]$.

Algorithme

- 1 Choix de $\theta^{[0]}$
Pour tout itération $[t]$,
- 2 Calcul de la distribution $h|z$.
- 3 **Étape E** : avec la valeur courante $\theta^{[t]}$,
→ Estimation des $g, f^r, \forall r$ via $\tilde{g} = \mathbb{E}_z^h[g]$, $\tilde{f}^r = \mathbb{E}_z^h[f^r]$.
→ Calcul des $\tilde{\gamma} = \mathbb{E}_z^h[g^2]$, $\tilde{\phi}^r = \mathbb{E}_z^h[(f^r)^2]$.
- 4 **Étape M** : on actualise $\theta^{[t+1]}$ en injectant les $\tilde{g}, \tilde{f}^r, \tilde{\gamma}, \tilde{\phi}^r$ dans les formules solutions de (1).

Algorithme

- 1 Choix de $\theta^{[0]}$
Pour tout itération $[t]$,
- 2 Calcul de la distribution $h|z$.
- 3 **Étape E** : avec la valeur courante $\theta^{[t]}$,
→ Estimation des $g, f^r, \forall r$ via $\tilde{g} = \mathbb{E}_z^h[g]$, $\tilde{f}^r = \mathbb{E}_z^h[f^r]$.
→ Calcul des $\tilde{\gamma} = \mathbb{E}_z^h[g^2]$, $\tilde{\phi}^r = \mathbb{E}_z^h[(f^r)^2]$.
- 4 **Étape M** : on actualise $\theta^{[t+1]}$ en injectant les $\tilde{g}, \tilde{f}^r, \tilde{\gamma}, \tilde{\phi}^r$ dans les formules solutions de (1).

On repasse alors à l'étape E puis M, et ainsi de suite.

$$\left\{ \begin{array}{l} Y = \mathbb{1}_n \mu^{Y'} + g b' + \varepsilon^Y \\ X^1 = \mathbb{1}_n \mu^{X^1'} + f^1 a^{1'} + \varepsilon^{X^1} \\ X^2 = \mathbb{1}_n \mu^{X^2'} + f^2 a^{2'} + \varepsilon^{X^2} \\ g = f^1 c^1 + f^2 c^2 + \varepsilon^g \end{array} \right. \begin{array}{l} \text{Modèle de mesure} \\ \text{Modèle structurel} \end{array}$$

- ❶ Choix des dimensions : $n=250$; $q_Y=q_1=q_2=10$

$$\left. \begin{cases} Y = \mathbb{1}_n \mu^{Y'} + gb' + \varepsilon^Y \\ X^1 = \mathbb{1}_n \mu^{X^1'} + f^1 a^1' + \varepsilon^{X^1} \\ X^2 = \mathbb{1}_n \mu^{X^2'} + f^2 a^2' + \varepsilon^{X^2} \\ g = f^1 c^1 + f^2 c^2 + \varepsilon^g \end{cases} \right\} \begin{array}{l} \text{Modèle de mesure} \\ \text{Modèle structurel} \end{array}$$

❶ Choix des dimensions : $n=250$; $q_Y=q_1=q_2=10$

❷ Définition des paramètres :

Modèle de mesure :

$\mu^Y = \mu^{X^1} = \mu^{X^2} =$ vecteur nul de longueur 10

$b=(0.07,0.08,0.09,0.1,0.11,0.12,0.13,0.14,0.15,0.2)$

$a^1=a^2=(0.7,0.8,0.9,1,1.1,1.2,1.3,1.4,0.7,0.8)$

$\sigma_Y^2=\sigma_{X^1}^2=\sigma_{X^2}^2=0.25$

$$\left\{ \begin{array}{l} Y = \mathbb{1}_n \mu^{Y'} + g b' + \varepsilon^Y \\ X^1 = \mathbb{1}_n \mu^{X^1'} + f^1 a^{1'} + \varepsilon^{X^1} \\ X^2 = \mathbb{1}_n \mu^{X^2'} + f^2 a^{2'} + \varepsilon^{X^2} \\ g = f^1 c^1 + f^2 c^2 + \varepsilon^g \end{array} \right\} \begin{array}{l} \text{Modèle de mesure} \\ \text{Modèle structurel} \end{array}$$

❶ Choix des dimensions : $n=250$; $q_Y=q_1=q_2=10$

❷ Définition des paramètres :

Modèle de mesure :

$\mu^Y = \mu^{X^1} = \mu^{X^2} =$ vecteur nul de longueur 10

$b=(0.07,0.08,0.09,0.1,0.11,0.12,0.13,0.14,0.15,0.2)$

$a^1=a^2=(0.7,0.8,0.9,1,1.1,1.2,1.3,1.4,0.7,0.8)$

$\sigma_Y^2=\sigma_{X^1}^2=\sigma_{X^2}^2=0.25$

Modèle de

structure :

$c^1=c^2=10$

$$\left. \begin{cases} Y = \mathbb{1}_n \mu^{Y'} + gb' + \varepsilon^Y \\ X^1 = \mathbb{1}_n \mu^{X^1'} + f^1 a^1 + \varepsilon^{X^1} \\ X^2 = \mathbb{1}_n \mu^{X^2'} + f^2 a^2 + \varepsilon^{X^2} \\ g = f^1 c^1 + f^2 c^2 + \varepsilon^g \end{cases} \right\} \begin{array}{l} \text{Modèle de mesure} \\ \text{Modèle structurel} \end{array}$$

❶ **Choix des dimensions** : $n=250$; $q_Y=q_1=q_2=10$

❷ **Définition des paramètres** :

Modèle de mesure :

$\mu^Y = \mu^{X^1} = \mu^{X^2} =$ vecteur nul de longueur 10

$b=(0.07,0.08,0.09,0.1,0.11,0.12,0.13,0.14,0.15,0.2)$

$a^1=a^2=(0.7,0.8,0.9,1,1.1,1.2,1.3,1.4,0.7,0.8)$

$\sigma_Y^2=\sigma_{X^1}^2=\sigma_{X^2}^2=0.25$

Modèle de

structure :

$c^1=c^2=10$

❸ **Création des données** Y, X^1, X^2 :

Simulation de $f^1, f^2, \varepsilon^g \Rightarrow$ création de g .

Simulation de $\varepsilon^Y, \varepsilon^{X^1}, \varepsilon^{X^2} \Rightarrow$ création des données Y, X^1, X^2 .

Résultats moyens sur 100 jeux de données

- Écart à la solution attendue : $\|\theta_{attendu} - \theta_{final}\|$

$\hat{\theta}$	$\mu^{\hat{Y}}$	$\mu^{\hat{X}^1}$	$\mu^{\hat{X}^2}$	\hat{b}	\hat{a}^1	\hat{a}^2	\hat{c}^1	\hat{c}^2	$\hat{\sigma}^2_Y, \hat{\sigma}^2_{X^r}$
écart	0.09	0.09	0.09	0.04	0.31	0.33	0.88	0.47	0.03

Conclusion :

- Méthode d'estimation par maximum de vraisemblance via l'algorithme EM.
- Avantage de EM :
 - maximisation de log-vraisemblance complexe
 - variables latentes

Perspectives :

- Comparer cette méthode aux existantes (efficacité, temps de calcul).
- Généralisation possible

MERCI À TOUS POUR VOTRE ATTENTION

Bibliographie

- [1] Kenneth A. Bollen (1989), *Structural Equations With Latent Variables*
- [2] Rivera, P. et Satorra, A. (2002), *Latent Variable and Latent Structure Models*, Marcoulides, G. et Moustaki, I., New Jersey, 85–102.
- [3] Jakobowicz, E. (2007), *Contributions aux modèles d'équations structurelles à variables latentes*, Thèse, Paris, 81–99.
- [4] Bacher, F. (1987), *Les modèles structuraux en psychologie présentation d'un modèle : LISREL*, *Le travail humain*, 347–370.
- [5] Jöreskog, K. (1970), *A general method for analysis of covariance structure*, *Biometrika*.
- [6] Fox, J. (2002), *Structural Equation Models*, <http://cran.r-project.org/doc/contrib/Fox-Companion/appendix-sems.pdf>.
- [7] Esposito Vinzi, V. et Trinchera, L. (2008), *Modèles à équations structurelles, approches basée sur les composantes*, URL : http://www.academia.edu/390381/Modeles_a_equations_structurelles_approches_basees_sur_les_composantes, Naples.
- [8] Stan, V. et Saporta, G. (2006), *Une comparaison expérimentale entre les approches PLS et LISREL*, Paris.
- [9] Saidane, M. (2006), *Modèles à facteurs conditionnellement hétéroscédastiques et à structure markovienne cachée pour les séries financières*, Thèse, Montpellier.
- [10] Foulley, J-L. (2002), *Algorithme EM : Theorie et application au modèle mixte*, *Journal de la Société Française de Statistique*, Jouyen-Josas.